

## 第四章 第一型曲线积分与曲面积分

本章讨论的两种积分是定积分与重积分的推广, 其差别仅仅在于: 在这里“积分域”分别是坐标系中的曲线段 (平面曲线或空间曲线) 及有界曲面; 被积函数是定义在相应“积分域”上的有界函数.

### §1 第一型曲线积分

#### 1.1 第一型曲线积分的概念与性质

**引例** 设有一条物质曲线, 在平面直角坐标系  $Oxy$  中所占的位置是一段曲线弧  $L$ , 它的端点是  $A, B$ , 它的线密度为  $\rho(x, y)$ , 其中  $\rho(x, y)$  是定义在  $L$  上的非负连续函数, 求  $L$  的质量  $m$ .

如果  $\rho(x, y)$  等于常数, 即此曲线质量分布是均匀的, 则质量为

$$m = \rho(x, y) \cdot s,$$

其中  $s$  为曲线  $L$  的弧长. 但一般情况下  $\rho(x, y)$  不是常数 (质量分布非均匀), 这时可以本着化整为零, 在局部以不变代变的思想, 利用质量的可加性, 以极限为手段来计算  $m$ . 具体方法如下. 用  $L$  上的点  $A = M_0, M_1, \dots, M_{i-1}, M_i, \dots, M_n = B$  把  $L$  分成  $n$  个小弧段, 记第  $i$  个小弧段  $\widehat{M_{i-1}M_i}$  的长度为  $\Delta s_i$ , 质量为  $\Delta m_i (i = 1, 2, \dots, n)$ . 当  $\Delta s_i$  充分小时可以将弧  $\widehat{M_{i-1}M_i}$  的质量分布看成是均匀的, 任取  $(\xi_i, \eta_i) \in \widehat{M_{i-1}M_i}$  (图 4.1), 由  $\rho(x, y)$  的连续性,

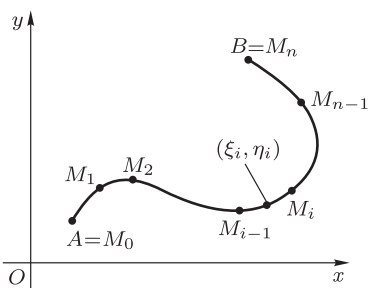


图 4.1

$$\Delta m_i \approx \rho(\xi_i, \eta_i) \Delta s_i,$$

从而

$$m = \sum_{i=1}^n \Delta m_i \approx \sum_{i=1}^n \rho(\xi_i, \eta_i) \Delta s_i,$$

易见当分割越细时, 近似程度越好. 于是令  $d = \max_{1 \leq i \leq n} \{\Delta s_i\}$ , 当  $d \rightarrow 0$  时, 有

$$m = \lim_{d \rightarrow 0} \sum_{i=1}^n \rho(\xi_i, \eta_i) \Delta s_i.$$

根据引例中的具体问题, 我们抽象出第一型曲线积分的概念.

**定义 1.1** 设  $f(x, y)$  是定义在  $Oxy$  面上的有界光滑曲线  $L$  上的有界函数, 其中  $L$  的两个端点为  $A, B$ . 用  $L$  上  $n+1$  个不同的点  $A = M_0, M_1, M_2, \dots, M_{n-1}, M_n = B$ , 把  $L$  分成  $n$  个小弧段, 第  $i$  个小弧段  $\widehat{M_{i-1}M_i}$  的长度记为  $\Delta s_i$ , 任取  $(\xi_i, \eta_i) \in \widehat{M_{i-1}M_i} (i = 1, 2, \dots, n)$ , 作和

$$\sum_{i=1}^n f(\xi_i, \eta_i) \Delta s_i.$$

记  $d = \max_{1 \leq i \leq n} \{\Delta s_i\}$ , 如果极限

$$\lim_{d \rightarrow 0} \sum_{i=1}^n f(\xi_i, \eta_i) \Delta s_i$$

存在, 则称此极限为函数  $f(x, y)$  在曲线  $L$  上的第一型曲线积分, 记作

$$\int_L f(x, y) ds,$$

即

$$\int_L f(x, y) ds = \lim_{d \rightarrow 0} \sum_{i=1}^n f(\xi_i, \eta_i) \Delta s_i.$$

并称  $f(x, y)$  为被积函数,  $L$  为积分弧段 (或积分曲线),  $ds$  为弧长元素.

第一型曲线积分有时也称为第一类曲线积分, 对弧长的曲线积分或数量值函数的曲线积分.

由定义 1.1 知, 引例中的物质曲线的质量应为

$$m = \int_L \rho(x, y) ds.$$

可以证明, 当  $f(x, y) \in C(L)$  时,  $\int_L f(x, y) ds$  存在, 其中  $L$  为有界光滑曲线, 或分段光滑曲线.

第一型曲线积分具有与定积分、重积分相类似的性质, 举例如下.

(1) 线性性质.  $\forall k_1, k_2 \in \mathbf{R}$ , 有

$$\int_L [k_1 f_1(x, y) + k_2 f_2(x, y)] ds = k_1 \int_L f_1(x, y) ds + k_2 \int_L f_2(x, y) ds.$$

如果  $L$  是分段光滑的, 则  $L$  上的第一型曲线积分可以利用下述性质 (2) 计算.

(2) 对积分曲线的可加性性质. 设积分曲线  $L$  由曲线  $L_1$  及  $L_2$  连接而成 (可记作  $L = L_1 + L_2$ ), 则

$$\int_L f(x, y) ds = \int_{L_1} f(x, y) ds + \int_{L_2} f(x, y) ds.$$

(3) 当  $f(x, y) \equiv 1$  时,  $\int_L ds = s(L)$  (弧  $L$  的长度).

如果  $L$  是闭曲线, 即  $L$  的两个端点重合, 则曲线积分  $\int_L f(x, y) ds$  经常记为  $\oint_L f(x, y) ds$ .

第一型曲线积分有明显的几何意义. 设有一张柱面, 它以  $Oxy$  面上的有界光滑曲线  $L$  为准线, 母线平行于  $z$  轴, 其高度为  $f(x, y)$ ,  $(x, y) \in L$ , 如图 4.2 所示. 显然, 如果  $L$  是一条直线, 则此柱面的形状为曲边梯形. 因此我们可以用求曲边梯形面积的方法 (分割、替代、求和、取极限) 求出该柱面的面积为

$$A = \int_L f(x, y) ds.$$

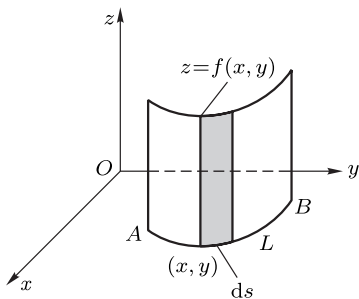


图 4.2

在定义 1.1 中, 如果  $\Gamma$  是空间的光滑曲线, 被积函数  $f(x, y, z)$  是定义在  $\Gamma$  上的有界函数, 则可定义空间曲线  $\Gamma$  上的第一型曲线积分为

$$\int_{\Gamma} f(x, y, z) ds.$$

## 1.2 第一型曲线积分的计算

假设  $L$  由参数方程

$$\begin{cases} x = x(t), \\ y = y(t) \end{cases} \quad (\alpha \leq t \leq \beta)$$

给出, 其中  $x(t), y(t) \in C^{(1)}[\alpha, \beta]$ , 且  $x'^2 + y'^2 \neq 0$ , 即  $L$  是光滑曲线,  $f(x, y) \in C(L)$ .

$f(x, y)$  在  $L$  上的连续性保证了第一型曲线积分  $\int_L f(x, y)ds$  存在. 在上述假设下, 我们推导计算  $\int_L f(x, y)ds$  的公式.

在区间  $[\alpha, \beta]$  中插入分点

$$\alpha = t_0 < t_1 < \cdots < t_{i-1} < t_i < \cdots < t_n = \beta,$$

并记  $\Delta t_i = t_i - t_{i-1}$ . 相应于这种对  $[\alpha, \beta]$  的分割, 得到  $L$  的一种分割. 设  $[t_{i-1}, t_i]$  对应的弧段为  $\widehat{M_{i-1}M_i}$ , 其弧长为  $\Delta s_i$  ( $i = 1, 2, \cdots, n$ ), 则由弧长公式及积分中值定理知

$$\Delta s_i = \int_{t_{i-1}}^{t_i} \sqrt{x'^2(t) + y'^2(t)} dt = \sqrt{x'^2(\tau_i) + y'^2(\tau_i)} \Delta t_i,$$

其中  $\tau_i \in [t_{i-1}, t_i]$ . 取  $\xi_i = x(\tau_i), \eta_i = y(\tau_i)$ , 于是  $(\xi_i, \eta_i) \in \widehat{M_{i-1}M_i}$ . 由于  $\int_L f(x, y)ds$  存在, 故对以上的特殊分割及取点应有

$$\begin{aligned} \int_L f(x, y)ds &= \lim_{d \rightarrow 0} \sum_{i=1}^n f(\xi_i, \eta_i) \Delta s_i \\ &= \lim_{d \rightarrow 0} \sum_{i=1}^n f(x(\tau_i), y(\tau_i)) \sqrt{x'^2(\tau_i) + y'^2(\tau_i)} \Delta t_i. \end{aligned}$$

显然, 最后一式的右端是连续函数

$$f(x(t), y(t)) \sqrt{x'^2(t) + y'^2(t)}$$

在区间  $[\alpha, \beta]$  上的特殊分割、取点的积分和的极限, 而连续函数一定是可积分的, 故此积分和的极限应是定积分

$$\int_{\alpha}^{\beta} f(x(t), y(t)) \sqrt{x'^2(t) + y'^2(t)} dt.$$

于是我们便得到了计算第一型曲线积分的公式

$$\int_L f(x, y)ds = \int_{\alpha}^{\beta} f(x(t), y(t)) \sqrt{x'^2(t) + y'^2(t)} dt. \quad (1)$$

公式 (1) 可以这样记忆: 将积分曲线方程中的  $x = x(t), y = y(t)$  及弧微分公式  $ds = \sqrt{x'^2(t) + y'^2(t)} dt$  代入  $\int_L f(x, y)ds$  的被积表达式, 然后从  $\alpha$  到  $\beta$  作

定积分, 这里必须注意化第一型曲线积分为定积分时, 积分的下限  $\alpha$  一定小于上限  $\beta$ .

如果  $L$  的方程为  $y = y(x), a \leq x \leq b$ , 我们可以把这种情形看成参数方程:  $x = x, y = y(x), a \leq x \leq b$ , 其中  $x$  是参数, 则公式 (1) 成为

$$\int_L f(x, y) ds = \int_a^b f(x, y(x)) \sqrt{1 + y'^2(x)} dx.$$

类似地, 如果  $L$  的方程为  $x = x(y), c \leq y \leq d$ , 则有

$$\int_L f(x, y) ds = \int_c^d f(x(y), y) \sqrt{1 + x'^2(y)} dy.$$

与此相似, 在计算空间第一型曲线积分时, 若空间曲线  $\Gamma$  的方程为

$$\begin{cases} x = x(t), \\ y = y(t), \\ z = z(t) \end{cases} \quad (\alpha \leq t \leq \beta),$$

其中  $x(t), y(t), z(t) \in C^1[\alpha, \beta]$ , 且  $x'^2(t) + y'^2(t) + z'^2(t) \neq 0$ , 则有

$$\int_{\Gamma} f(x, y, z) ds = \int_{\alpha}^{\beta} f(x(t), y(t), z(t)) \sqrt{x'^2(t) + y'^2(t) + z'^2(t)} dt.$$

**例 1.1** 计算  $\int_L ye^{-\frac{x}{a}} ds$ , 其中  $L$  为曲线  $x = a \ln(1+t^2), y = 2a \arctan t - at$  上对应于  $0 \leq t \leq 1$  的一段弧 ( $a \neq 0$ ).

**解** 由于

$$\begin{aligned} x'(t) &= \frac{2at}{1+t^2}, \quad y'(t) = \frac{2a}{1+t^2} - a = \frac{a-at^2}{1+t^2}, \\ ds &= \sqrt{x'^2(t) + y'^2(t)} dt = \sqrt{a^2} dt = |a| dt, \end{aligned}$$

于是

$$\begin{aligned} \int_L ye^{-\frac{x}{a}} ds &= \int_0^1 \frac{2a \arctan t - at}{1+t^2} |a| dt \\ &= a|a| \left[ (\arctan t)^2 - \frac{1}{2} \ln(1+t^2) \right]_0^1 \\ &= a|a| \left( \frac{\pi^2}{16} - \frac{1}{2} \ln 2 \right). \end{aligned}$$

**例 1.2** 计算  $\oint_L \sqrt{x^2 + y^2} ds$ , 其中  $L$  是圆周  $x^2 + y^2 = ax$  ( $a > 0$ ).

解  $L$  的方程可以表示为

$$\left(x - \frac{a}{2}\right)^2 + y^2 = \left(\frac{a}{2}\right)^2.$$

如图 4.3 所示, 其参数方程为

$$\begin{cases} x = \frac{a}{2} + \frac{a}{2} \cos \theta, \\ y = \frac{a}{2} \sin \theta, \end{cases} \quad 0 \leq \theta \leq 2\pi.$$

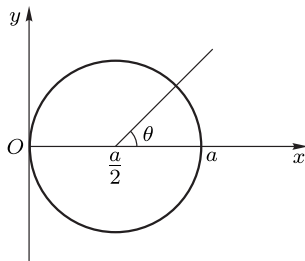


图 4.3

由于

$$ds = \sqrt{x'^2(\theta) + y'^2(\theta)} d\theta = \sqrt{\frac{a^2}{4}(\sin^2 \theta + \cos^2 \theta)} d\theta = \frac{a}{2} d\theta.$$

于是

$$\begin{aligned} \oint_L \sqrt{x^2 + y^2} ds &= \int_0^{2\pi} \sqrt{\frac{a^2}{2}(1 + \cos \theta)} \frac{a}{2} d\theta = \frac{a^2}{2} \int_0^{2\pi} \sqrt{\frac{1 + \cos \theta}{2}} d\theta \\ &= \frac{a^2}{2} \int_0^{2\pi} \left| \cos \frac{\theta}{2} \right| d\theta = \frac{a^2}{2} \left[ \int_0^{\pi} \cos \frac{\theta}{2} d\theta - \int_{\pi}^{2\pi} \cos \frac{\theta}{2} d\theta \right] = 2a^2. \end{aligned}$$

注意, 本例中参数  $\theta$  如图 4.3 所示, 如果  $\theta$  为极角, 则  $L$  的参数方程如下

$$\begin{cases} x = a \cos^2 \theta, \\ y = a \cos \theta \sin \theta \end{cases} \quad \left(-\frac{\pi}{2} \leq \theta \leq \frac{\pi}{2}\right)^*.$$

建议读者用此方程将例 1.2 再作一遍.

**例 1.3** 计算  $\int_{\Gamma} \sqrt{2y^2 + z^2} ds$ , 其中  $\Gamma$  为球面  $x^2 + y^2 + z^2 = a^2$  ( $a > 0$ ) 与平面  $x = y$  的交线,  $z \geq 0$  部分.

**解**  $\Gamma$  是平面  $y = x$  上的半圆弧, 将  $y = x$  代入  $x^2 + y^2 + z^2 = a^2$ , 消去  $x$ , 得到  $\Gamma$  在  $Oyz$  面的投影曲线方程

$$\frac{z^2}{a^2} + \frac{y^2}{\left(\frac{a}{\sqrt{2}}\right)^2} = 1.$$

---

\*按极角规定, 这里  $\theta$  的变化范围应是  $0 \leq \theta \leq \frac{\pi}{2}$  及  $\frac{3}{2}\pi \leq \theta \leq 2\pi$ , 为了表达方便, 也可以表为  $-\frac{\pi}{2} \leq \theta \leq \frac{\pi}{2}$ .

由此可知, 空间曲线  $\Gamma$  的参数方程为

$$\begin{cases} x = \frac{a}{\sqrt{2}} \cos t, \\ y = \frac{a}{\sqrt{2}} \cos t, \\ z = a \sin t, \end{cases} \quad 0 \leq t \leq \pi.$$

由于

$$ds = \sqrt{x'^2(t) + y'^2(t) + z'^2(t)} dt = a dt,$$

于是

$$\int_{\Gamma} \sqrt{2y^2 + z^2} ds = \int_0^{\pi} a \cdot a dt = \pi a^2.$$

**例 1.4** 求柱面

$$\frac{x^2}{5} + \frac{y^2}{9} = 1$$

介于平面  $z=0, z=y$  之间且在  $Oxy$  平面之上部分 (图 4.4) 的面积.

**解** 此柱面是以  $Oxy$  面上曲线  $L$  为准线, 母线平行于  $z$  轴, 顶部曲线方程为此柱面与  $z=y$  的交线, 其中  $L$  为  $Oxy$  面上的上半椭圆

$$\frac{x^2}{5} + \frac{y^2}{9} = 1 \quad (y \geq 0),$$

其参数方程为

$$\begin{cases} x = \sqrt{5} \cos \theta, \\ y = 3 \sin \theta, \end{cases} \quad 0 \leq \theta \leq \pi.$$

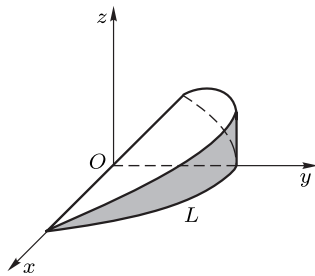


图 4.4

由第一型曲线积分的几何意义知, 所求面积为

$$\begin{aligned} A &= \int_L y ds = \int_0^{\pi} 3 \sin \theta \sqrt{5 \sin^2 \theta + 9 \cos^2 \theta} d\theta \\ &= -3 \int_0^{\pi} \sqrt{4 \cos^2 \theta + 5} d \cos \theta = 6 \int_0^1 \sqrt{4u^2 + 5} du \\ &= 9 + \frac{15}{4} \ln 5. \end{aligned}$$

## 习 题 4.1

(A)

1. 计算下列第一型曲线积分:

(1)  $\oint_L e^{\sqrt{x^2+y^2}} ds$ , 其中  $L$  为圆周  $x^2 + y^2 = a^2$ , 直线  $y = x$  及  $x$  轴在第一象限内所围成的扇形的整个边界;

(2)  $\int_L y^2 ds$ , 其中  $L$  为摆线的一拱:  $x = a(t - \sin t), y = a(1 - \cos t)$  ( $0 \leq t \leq 2\pi$ );

(3)  $\int_\Gamma (x^2 + y^2 + z^2) ds$ , 其中  $\Gamma$  为螺旋线  $x = a \cos t, y = a \sin t, z = kt$  上相应于  $0 \leq t \leq 2\pi$  的一段弧;

(4)  $\int_L |y| ds$ , 其中  $L$  为双纽线  $(x^2 + y^2)^2 = a^2(x^2 - y^2), a > 0$ .

(5)  $\oint_\Gamma \frac{z^2}{\sqrt{2x^2 + y^2}} ds$ , 其中  $\Gamma$  为柱面  $x^2 + y^2 = R^2$  与平面  $z = y$  的交线;

(6)  $\oint_L (x + y) ds$ , 其中  $L$  为以  $(0, 0), (1, 0)$  和  $(0, 1)$  为顶点的三角形的周界;

(7)  $\oint_\Gamma (z + y^2) ds$ , 其中  $\Gamma$  为球面  $x^2 + y^2 + z^2 = R^2$  与平面  $x + y + z = 0$  的交线.

2. 有一铁丝呈半圆形  $x = a \cos t, y = a \sin t$  ( $0 \leq t \leq \pi$ ), 其上每一点的密度等于该点的纵坐标, 求铁丝的质量.

3. 计算圆柱面  $x^2 + y^2 = R^2$  介于  $Oxy$  平面及柱面  $z = R + \frac{x^2}{R}$  之间的面积, 其中  $R > 0$ .

(B)

1. 计算  $\int_\Gamma x ds$ , 其中  $\Gamma$  为曲线  $x^2 + y^2 + z^2 = 1, y = x$  ( $z \geq 0$ ) 上从  $A\left(\frac{1}{3}, \frac{1}{3}, \frac{\sqrt{7}}{3}\right)$  到  $B\left(\frac{1}{2}, \frac{1}{2}, \frac{\sqrt{2}}{2}\right)$  的一段.

2. 计算平面  $x + y = 1$  上被坐标面与曲面  $z = xy$  截下的在第 I 卦限部分的面积.

3. 计算  $\oint_\Gamma (x^2 + y^2 + 2x - z - 4) ds$ , 其中  $\Gamma$  为  $z = \sqrt{x^2 + 5y^2}$  与  $z = 1 + 2y$  的交线.

4. 计算  $\oint_\Gamma (x^2 + xy + y^2) ds$ , 其中闭曲线  $\Gamma$  为

$$\begin{cases} x^2 + y^2 + z^2 = a^2, \\ x + y + z = 0 \end{cases} \quad (\text{常数 } a > 0).$$



5. 计算  $\oint_{\Gamma} (2xy + 3x^2 + 4y^2)ds$ , 其中  $\Gamma$  为椭圆  $\frac{x^2}{4} + \frac{y^2}{3} = 1$ , 它的周长为  $a$ .
6. 计算  $\oint_{\Gamma} (\sqrt{2y^2 + z^2} + y^2)ds$ , 其中闭曲线  $\Gamma$  为

$$\begin{cases} x^2 + y^2 + z^2 = R^2, \\ x = y. \end{cases}$$

## §2 第一型曲面积分

### 2.1 第一型曲面积分的概念与性质

**引例** 设某物质曲面, 它在空间直角坐标系中所占的位置是一块有界曲面  $\Sigma$ , 其密度函数为  $\rho(x, y, z)$ ,  $\rho(x, y, z)$  是定义在  $\Sigma$  上的非负连续函数, 求  $\Sigma$  的质量  $m$ .

求  $m$  的方法与上一节引例类似: 将  $\Sigma$  任意分割成  $n$  块小曲面  $\Delta S_i$  ( $\Delta S_i$  同时也表示该小曲面的面积),  $\forall (\xi_i, \eta_i, \zeta_i) \in \Delta S_i$ , 记  $\Delta S_i$  的质量为  $\Delta m_i$ , 有

$$\Delta m_i \approx \rho(\xi_i, \eta_i, \zeta_i) \Delta S_i \quad (i = 1, 2, \dots, n),$$

于是

$$m = \sum_{i=1}^n \Delta m_i \approx \sum_{i=1}^n \rho(\xi_i, \eta_i, \zeta_i) \Delta S_i.$$

显然, 分割越细, 近似程度越好, 于是令  $d = \max_{1 \leq i \leq n} \{d_i\}$ , 其中  $d_i$  是  $\Delta S_i$  的直径, 当  $d \rightarrow 0$  时,

$$m = \lim_{d \rightarrow 0} \sum_{i=1}^n \rho(\xi_i, \eta_i, \zeta_i) \Delta S_i.$$

根据引例中的具体问题, 我们抽象出第一型曲面积分的概念.

**定义 2.1** 设  $f(x, y, z)$  是定义在有界光滑曲面  $\Sigma$  上的有界函数, 将  $\Sigma$  分割成  $n$  块小曲面  $\Delta S_1, \Delta S_2, \dots, \Delta S_n$ , 同时  $\Delta S_i$  也表示第  $i$  块小曲面的面积,  $\forall (\xi_i, \eta_i, \zeta_i) \in \Delta S_i$ , 作乘积  $f(\xi_i, \eta_i, \zeta_i) \Delta S_i$  ( $i = 1, 2, \dots, n$ ), 并作和

$$\sum_{i=1}^n f(\xi_i, \eta_i, \zeta_i) \Delta S_i.$$

记  $d = \max_{1 \leq i \leq n} \{d_i\}$ , 其中  $d_i$  是  $\Delta S_i$  的直径, 如果极限

$$\lim_{d \rightarrow 0} \sum_{i=1}^n f(\xi_i, \eta_i, \zeta_i) \Delta S_i$$

存在, 则称此极限为函数  $f(x, y, z)$  在曲面  $\Sigma$  上的**第一型曲面积分**, 记作

$$\iint_{\Sigma} f(x, y, z) dS,$$

即

$$\iint_{\Sigma} f(x, y, z) dS = \lim_{d \rightarrow 0} \sum_{i=1}^n f(\xi_i, \eta_i, \zeta_i) \Delta S_i,$$

并称  $f(x, y, z)$  为**被积函数**,  $\Sigma$  为**积分曲面**,  $dS$  为**面积元素**.

第一型曲面积分, 也称为**第一类曲面积分**, 对面积的曲面积分或数量值函数的曲面积分.

由定义 2.1 知, 引例中的物质曲面的质量可以表示为

$$m = \iint_{\Sigma} \rho(x, y, z) dS.$$

可以证明, 当  $f(x, y, z) \in C(\Sigma)$  时,  $\iint_{\Sigma} f(x, y, z) dS$  存在, 其中  $\Sigma$  为有界光滑曲面, 或分块光滑曲面.

第一型曲面积分有与前面学过的积分类似的性质, 如线性性质、对积分曲面具有可加性等.

如果  $\Sigma$  是有界分片光滑闭曲面, 即存在空间有界闭区域  $\Omega$ , 使得  $\Sigma$  恰好是  $\Omega$  的边界曲面, 此时曲面积分  $\iint_{\Sigma} f(x, y, z) dS$  也可以写成  $\oiint_{\Sigma} f(x, y, z) dS$ .

## 2.2 曲面面积的计算

在讨论第一型曲面积分的计算时, 我们先讨论一种简单情况, 即被积函数  $f(x, y, z) \equiv 1$ , 由积分性质知

$$\iint_{\Sigma} dS = S(\Sigma), \quad (2)$$

其中  $S(\Sigma)$  是  $\Sigma$  的面积. 于是计算  $\iint_{\Sigma} dS$  只需求曲面  $\Sigma$  的面积.

设  $\Sigma$  是一块有界光滑曲面, 其方程为

$$z = f(x, y), \quad (x, y) \in D_{xy},$$

其中  $D_{xy}$  为  $\Sigma$  在  $Oxy$  面上的投影域,  $f(x, y) \in C^{(1)}(D_{xy})$ .

用我们常用的方法: 将  $D_{xy}$  分割成  $n$  个小区域, 相应地,  $\Sigma$  也分割成了  $n$  个小曲面, 且第  $i$  块小曲面  $\Delta S_i$  以第  $i$  个小区域  $\Delta \sigma_i$  为投影域, 同时也用相同的记号分别记它们的面积 ( $i = 1, 2, \dots, n$ ), 如图 4.5 所示.  $\forall (\xi_i, \eta_i) \in \Delta \sigma_i$ , 则相对应的第  $i$  块小曲面  $\Delta S_i$  上的点为  $M_i(\xi_i, \eta_i, f(\xi_i, \eta_i))$ . 过  $M_i$  点的切平面记为  $\pi_i$ , 在  $\pi_i$  上取与小曲面  $\Delta S_i$  具有相同投影域  $\Delta \sigma_i$  的小块切平面, 设其面积为  $\Delta A_i$ . 由于  $\Sigma$  光滑, 所以当  $\Delta \sigma_i$  的直径很小时有  $\Delta S_i \approx \Delta A_i$  ( $i = 1, 2, \dots, n$ ), 从而有

$$S = \sum_{i=1}^n \Delta S_i \approx \sum_{i=1}^n \Delta A_i,$$

而  $\pi_i$  的法向量  $\mathbf{n} = (-f_x(\xi_i, \eta_i), -f_y(\xi_i, \eta_i), 1)$ , 显然  $\pi_i$  与  $Oxy$  面的夹角就是法

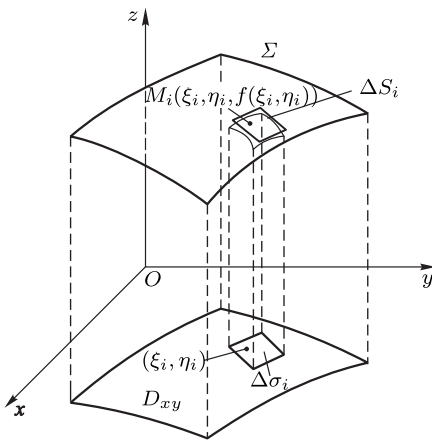


图 4.5

向量  $\mathbf{n}$  与  $z$  轴正向单位向量  $\mathbf{k}$  的夹角  $\gamma_i$ . 于是  $\pi_i$  上小块切平面的面积  $\Delta A_i$  与其投影域的面积  $\Delta \sigma_i$  之间有关系  $\Delta \sigma_i = \Delta A_i \cos \gamma_i$ . 我们已经知道

$$\cos \gamma_i = \frac{1}{\sqrt{1 + f_x^2(\xi_i, \eta_i) + f_y^2(\xi_i, \eta_i)}},$$

于是

$$\Delta A_i = \frac{\Delta \sigma_i}{\cos \gamma_i} = \sqrt{1 + f_x^2(\xi_i, \eta_i) + f_y^2(\xi_i, \eta_i)} \Delta \sigma_i.$$

记  $d = \max_{1 \leq i \leq n} \{d_i\}$ , 其中  $d_i$  为小区域  $\Delta\sigma_i$  的直径. 当  $d \rightarrow 0$  时, 若极限

$$\lim_{d \rightarrow 0} \sum_{i=1}^n \Delta A_i$$

存在, 则将其定义为曲面  $\Sigma$  的面积. 而在上述假设下

$$\lim_{d \rightarrow 0} \sum_{i=1}^n \Delta A_i = \lim_{d \rightarrow 0} \sum_{i=1}^n \sqrt{1 + f_x^2(\xi_i, \eta_i) + f_y^2(\xi_i, \eta_i)} \Delta\sigma_i. \quad (3)$$

其右端恰好是函数  $g(x, y) \equiv \sqrt{1 + f_x^2(x, y) + f_y^2(x, y)}$  在区域  $D_{xy}$  上积分和的极限, 由于  $f(x, y) \in C^{(1)}(D_{xy})$ , 所以  $g(x, y) \in C(D_{xy})$ , 从而  $g(x, y)$  在  $D_{xy}$  上可积, 即 (3) 式极限存在, 并且

$$S(\Sigma) = \iint_{D_{xy}} \sqrt{1 + f_x^2(x, y) + f_y^2(x, y)} dx dy. \quad (4)$$

根据前面的分析, 比较 (2) 式与 (4) 式, 得到类似于弧长元素公式  $ds = \sqrt{1 + y'^2(x)} dx$  的曲面面积元素公式

$$dS = \sqrt{1 + \left(\frac{\partial z}{\partial x}\right)^2 + \left(\frac{\partial z}{\partial y}\right)^2} dx dy.$$

同理, 当曲面方程为  $x = \varphi(y, z)$ ,  $(y, z) \in D_{yz}$  时, 其中  $\varphi(y, z) \in C^{(1)}(D_{yz})$ , 曲面的面积

$$S = \iint_{D_{yz}} \sqrt{1 + \left(\frac{\partial x}{\partial y}\right)^2 + \left(\frac{\partial x}{\partial z}\right)^2} dy dz.$$

当曲面方程为  $y = \psi(z, x)$ ,  $(z, x) \in D_{zx}$  时, 其中  $\psi(z, x) \in C^{(1)}(D_{zx})$ , 曲面的面积

$$S = \iint_{D_{zx}} \sqrt{1 + \left(\frac{\partial y}{\partial z}\right)^2 + \left(\frac{\partial y}{\partial x}\right)^2} dz dx.$$

**例 2.1** 求上半球面  $z = \sqrt{R^2 - x^2 - y^2}$  介于两个圆柱面  $x^2 + y^2 = a^2$  及  $x^2 + y^2 = b^2$  ( $0 < a < b < R$ ) 之间部分的面积 (图 4.6).

**解** 由  $z = \sqrt{R^2 - x^2 - y^2}$ , 容易求得

$$\sqrt{1 + \left(\frac{\partial z}{\partial x}\right)^2 + \left(\frac{\partial z}{\partial y}\right)^2} = \frac{R}{\sqrt{R^2 - x^2 - y^2}}.$$

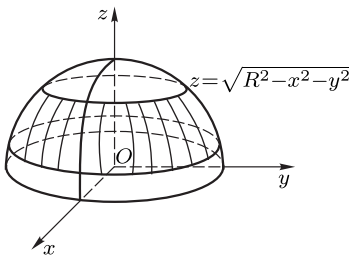


图 4.6

再由公式 (4), 并利用极坐标计算式中的二重积分, 得

$$\begin{aligned} S &= \iint_{D_{xy}} \frac{R dx dy}{\sqrt{R^2 - x^2 - y^2}} = R \int_0^{2\pi} d\theta \int_a^b \frac{r dr}{\sqrt{R^2 - r^2}} \\ &= 2\pi R \left[ -\sqrt{R^2 - r^2} \right]_a^b = 2\pi R (\sqrt{R^2 - a^2} - \sqrt{R^2 - b^2}). \end{aligned}$$

在上例中令  $a \rightarrow 0, b \rightarrow R$ , 则得到半球面的面积为  $2\pi R^2$ , 从而整个球面的面积为

$$S = 4\pi R^2.$$

### 2.3 第一型曲面积分的计算

正如第一型曲线积分可以化成定积分来计算一样, 第一型曲面积分也可以化成二重积分来计算.

设  $f(x, y, z) \in C(\Sigma)$ , 其中  $\Sigma$  的方程为

$$z = z(x, y), \quad (x, y) \in D_{xy},$$

且  $z(x, y) \in C^{(1)}(D_{xy})$ , 其中  $D_{xy}$  为  $\Sigma$  在  $Oxy$  面上的投影域, 是有界的.

利用曲面面积的计算公式, 采用与讨论第一型曲线积分化为定积分的公式类似的方法, 可以推出下面的第一型曲面积分化为二重积分的计算公式 (推导过程从略):

$$\iint_{\Sigma} f(x, y, z) dS = \iint_{D_{xy}} f(x, y, z(x, y)) \sqrt{1 + z_x^2 + z_y^2} dx dy. \quad (5)$$

公式 (5) 可以这样记忆: 将曲面方程  $z = z(x, y)$  及曲面面积元素  $dS = \sqrt{1 + z_x^2 + z_y^2} dx dy$  代入  $\iint_{\Sigma} f(x, y, z) dS$  的被积表达式, 然后在  $D_{xy}$  作二重积分.

当  $\Sigma$  的方程为  $x = x(y, z)$  ( $(y, z) \in D_{yz}$ ) 或  $y = y(z, x)$  ( $(z, x) \in D_{zx}$ ) 时, 分别有与 (5) 式相类似的计算公式

$$\iint_{\Sigma} f(x, y, z) dS = \iint_{D_{yz}} f(x(y, z), y, z) \sqrt{1 + x_y^2 + x_z^2} dy dz. \quad (6)$$

$$\iint_{\Sigma} f(x, y, z) dS = \iint_{D_{zx}} f(x, y(z, x), z) \sqrt{1 + y_z^2 + y_x^2} dz dx. \quad (7)$$

**例 2.2** 计算  $\iint_{\Sigma} xz dS$ , 其中  $\Sigma$  为平面  $x + y + z = 1$  在第 I 卦限的部分.

**解** 将  $\Sigma$  的方程写为  $z = 1 - x - y$ , 则  $\Sigma$  在  $Oxy$  面上的投影域为  $D_{xy} = \{(x, y) | x + y \leq 1, x \geq 0, y \geq 0\}$ , 如图 4.7 所示, 且

$$\sqrt{1 + z_x^2 + z_y^2} = \sqrt{3},$$

于是根据公式 (5)

$$\begin{aligned} \iint_{\Sigma} xz dS &= \iint_{D_{xy}} x(1 - x - y) \sqrt{3} dx dy \\ &= \sqrt{3} \int_0^1 x dx \int_0^{1-x} (1 - x - y) dy = \sqrt{3} \int_0^1 x \frac{(1-x)^2}{2} dx \\ &= \frac{\sqrt{3}}{2} \int_0^1 (x - 2x^2 + x^3) dx = \frac{\sqrt{3}}{24}. \end{aligned}$$

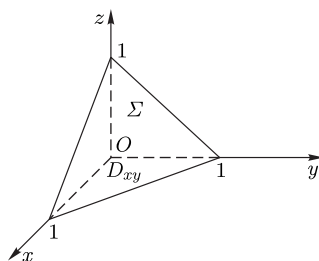


图 4.7

**例 2.3** 计算  $\iint_{\Sigma} \frac{1}{y} dS$ , 其中  $\Sigma$  是球面  $x^2 + y^2 + z^2 = a^2$  在平面  $y = h$

( $0 < h < a$ ) 右方的部分.

**解** 将  $\Sigma$  的方程写为  $y = \sqrt{a^2 - z^2 - x^2}$ , 则  $\Sigma$  在  $Ozx$  面上的投影域为  $D_{zx} = \{(z, x) | z^2 + x^2 \leq a^2 - h^2\}$ , 且

$$\sqrt{1 + y_z^2 + y_x^2} = \frac{a}{\sqrt{a^2 - z^2 - x^2}},$$

于是根据公式 (7)

$$\iint_{\Sigma} \frac{dS}{y} = \iint_{D_{zx}} \frac{a dz dx}{a^2 - z^2 - x^2} = a \int_0^{2\pi} d\theta \int_0^{\sqrt{a^2 - h^2}} \frac{r dr}{a^2 - r^2} = 2\pi a \ln \frac{a}{h}.$$

**例 2.4** 计算  $\oiint_{\Sigma} z^2 dS$ , 其中  $\Sigma$  为锥面  $z = \sqrt{x^2 + y^2}$  及平面  $z = 1, z = 2$  所

围成的立体的表面.

**解** 构成  $\Sigma$  的三块曲面分别表示为

$$\begin{aligned}\Sigma_1: z &= \sqrt{x^2 + y^2} & (D_1: 1 \leq x^2 + y^2 \leq 4), \\ \Sigma_2: z &= 1 & (D_2: x^2 + y^2 \leq 1), \\ \Sigma_3: z &= 2 & (D_3: x^2 + y^2 \leq 4),\end{aligned}$$

根据积分的性质

$$\oiint_{\Sigma} z^2 dS = \left( \iint_{\Sigma_1} + \iint_{\Sigma_2} + \iint_{\Sigma_3} \right) z^2 dS.$$

而

$$\begin{aligned}\iint_{\Sigma_1} z^2 dS &= \iint_{D_1} (x^2 + y^2) \sqrt{2} dx dy \\ &= \sqrt{2} \int_0^{2\pi} d\theta \int_1^2 r^2 \cdot r dr = \frac{15\sqrt{2}\pi}{2}, \\ \iint_{\Sigma_2} z^2 dS &= \iint_{D_2} 1^2 \sqrt{1+0^2+0^2} dx dy = \pi, \\ \iint_{\Sigma_3} z^2 dS &= \iint_{D_3} 2^2 \sqrt{1+0^2+0^2} dx dy = 16\pi,\end{aligned}$$

于是

$$\oiint_{\Sigma} z^2 dS = \frac{15\sqrt{2}}{2}\pi + \pi + 16\pi = \left( 17 + \frac{15\sqrt{2}}{2} \right) \pi.$$

## 习 题 4.2

(A)

1. 计算下列第一型曲面积分:

(1)  $\oiint_{\Sigma} (x^2 + y^2) dS$ , 其中  $\Sigma$  是锥面  $z = \sqrt{x^2 + y^2}$  及平面  $z = 1$  所围成的区域的整个

边界曲面;

(2)  $\iint_{\Sigma} (2xy - 2x^2 - x + z) dS$ , 其中  $\Sigma$  为平面  $2x + 2y + z = 6$  在第 I 卦限中的部分;

- (3)  $\iint_{\Sigma} \frac{dS}{r^2}$ , 其中  $\Sigma$  为圆柱面  $x^2 + y^2 = R^2$  介于平面  $z = 0$  及  $z = H$  之间的部分,  
 $r = \sqrt{x^2 + y^2 + z^2}$ ;  
 (4)  $\iint_{\Sigma} (x + y^2 + z^2) dS$ , 其中  $\Sigma$  为  $Oyz$  平面上的圆域:  $y^2 + z^2 \leq 1$ ;  
 (5)  $\oint_{\Sigma} \frac{dS}{(1+x+y)^2}$ , 其中  $\Sigma$  为平面  $x + y + z = 1$  及三个坐标面围成的四面体的表面;  
 (6)  $\oint_{\Sigma} f(x, y, z) dS$ , 其中  $\Sigma$  是由曲面  $z = \sqrt{x^2 + y^2}$ ,  $z = 1$  及  $z = 2$  所围成的空间区域的边界曲面,

$$f(x, y, z) = \begin{cases} 0, & x^2 + y^2 > 1, \\ x^2 + y^2 + z^2, & x^2 + y^2 \leq 1. \end{cases}$$

2. 求锥面  $z = \sqrt{x^2 + y^2}$  被柱面  $z^2 = 2x$  所割下部分的曲面面积.
3. 求底圆半径相等的两个直交圆柱面  $x^2 + y^2 = R^2$  及  $x^2 + z^2 = R^2$  所围立体的表面积.
4. 求抛物面壳  $z = \frac{1}{2}(x^2 + y^2)$  ( $z \leq 1$ ) 的质量, 此壳的面密度为  $\rho = z$ .

(B)

1. 计算  $\iint_{\Sigma} |xyz| dS$ , 其中  $\Sigma$  为曲面  $z = x^2 + y^2$  在平面  $z = 1$  下面的部分.
2. 计算  $\iint_{\Sigma} |y| \sqrt{z} dS$ , 其中  $\Sigma: z = x^2 + y^2$  ( $z \leq 1$ ).
3. 计算  $\iint_{\Sigma} (x^2 + y^2) ds$ , 其中  $\Sigma$  为球面  $x^2 + y^2 + z^2 = 1$  上以  $A(1, 0, 0), B(0, 1, 0), C\left(\frac{1}{\sqrt{2}}, 0, \frac{1}{\sqrt{2}}\right)$  三点为顶点的球面三角形 ( $\widehat{AB}, \widehat{BC}, \widehat{CA}$  均为大圆弧).
4. 计算  $\iint_{\Sigma} (x + y + z + 1)^2 ds$ , 其中  $\Sigma$  是上半球面  $x^2 + y^2 + z^2 = R^2$  ( $z \geq 0$ , 常数  $R > 0$ ).
5. 计算  $\oint_{\Sigma} (x + y + z) ds$ , 其中  $\Sigma$  为球面  $(x - a)^2 + (y - b)^2 + (z - c)^2 = 1$ .

### \*§3 几何形体上的积分及其应用

本节将定积分、重积分、第一型曲线积分和曲面积分的定义和性质加以总结, 将它们统一归结为几何形体上的积分, 并介绍了几何形体上的积分的应用.



### 3.1 几何形体上的积分概念

我们将区间  $I$ 、平面区域  $D$ 、空间区域  $\Omega$ 、曲线弧  $L$  及曲面  $\Sigma$  等统称为几何形体, 并记为  $G$ . 在这里我们总是假设  $G$  是有界的, 并且它们是可度量的 (即可求长度、面积或体积).

纵观以上所讨论的二重积分、三重积分、第一型曲线积分、曲面积分以及一元微积分中讨论过的定积分, 它们在本质上具有共同之处: 积分范围均是有界的几何形体; 被积函数均是定义在相应的几何形体上的有界函数; 定义式均是相同结构的积分和式的极限.

因此, 为了更好地理解和应用上述积分的概念、性质和计算, 我们把此类积分统一地表述如下.

**定义 3.1** 设  $f(M)$  是定义在可度量的有界几何形体  $G$  上的有界函数. 将  $G$  任意分割成  $n$  个小的几何形体  $\Delta G_i (i = 1, 2, \dots, n)$ , 同时以  $\Delta G_i$  表示其度量 (长度、面积或体积), 令  $d = \max_{1 \leq i \leq n} \{\Delta G_i \text{ 的直径}\}$ . 任取  $M_i \in \Delta G_i$ , 作积分和

$$\sum_{i=1}^n f(M_i) \Delta G_i,$$

如果不论对  $G$  怎样分割, 也不管  $M_i$  在  $\Delta G_i$  上如何选取, 只要  $d \rightarrow 0$ , 上述积分和都趋于同一常数  $I$ , 则称  $f(M)$  在  $G$  上可积, 并把  $I$  称为  $f(M)$  在几何形体  $G$  上的积分, 记作  $\int_G f(M) dG$ , 即

$$I = \int_G f(M) dG = \lim_{d \rightarrow 0} \sum_{i=1}^n f(M_i) \Delta G_i,$$

其中  $f(M)$  称为被积函数,  $G$  称为积分区域,  $dG$  称为度量元素,  $f(M) dG$  称为被积表达式,  $\int$  称为积分号.

在定义 3.1 中, 当  $G$  分别是区间  $[a, b]$ 、平面区域  $D$ 、空间区域  $\Omega$ 、曲线  $L$  和曲面  $\Sigma$  时,  $\int_G f(M) dG$  则分别表示定积分  $\int_a^b f(x) dx$ 、二重积分  $\iint_D f(x, y) d\sigma$ 、三重积分  $\iiint_{\Omega} f(x, y, z) dV$ 、第一型曲线积分  $\int_L f(x, y) ds$  和第一型曲面积分  $\iint_{\Sigma} f(x, y, z) dS$ .

### 3.2 几何形体上积分的性质

如果  $f(M)$  在  $G$  上连续, 则  $f(M)$  在几何形体  $G$  上积分存在.

下面我们在被积函数可积, 积分域有界可度量的条件下讨论几何形体上积分的性质.

**性质 1 (线性性质)**

$$\int_G [af(M) + bg(M)] dG = a \int_G f(M) dG + b \int_G g(M) dG,$$

其中  $a, b$  为常数.

**性质 2** 若被积函数  $f(M) \equiv 1$ , 则

$$\int_G dG = m(G),$$

其中  $m(G)$  是积分域  $G$  的度量.

**性质 3 (对积分域的可加性)** 设  $G_1 \cup G_2 = G$ , 且  $G_1$  与  $G_2$  除边界点外无公共部分, 则

$$\int_G f(M) dG = \int_{G_1} f(M) dG + \int_{G_2} f(M) dG.$$

**性质 4 (积分不等式)**

若在  $G$  上  $f(M) \leq g(M)$ , 则有

$$\int_G f(M) dG \leq \int_G g(M) dG.$$

特别地

$$\left| \int_G f(M) dG \right| \leq \int_G |f(M)| dG.$$

**性质 5 (估值定理)** 若  $b \leq f(M) \leq B$ ,  $M \in G$ , 则

$$bm(G) \leq \int_G f(M) dG \leq Bm(G).$$

**性质 6 (中值定理)** 设  $f \in C(G)$ , 则至少存在一点  $P \in G$ , 使得

$$\int_G f(M) dG = f(P)m(G).$$

### 3.3 几何形体上的积分应用举例

在利用定积分计算实际问题时, 微元法是一个有利的工具, 下面讨论的积分应用问题也将采用微元法来作. 微元法的关键是求出被求量  $Q$  的微元  $dQ$  的表达式. 对于几何形体  $G$  来说,  $G$  上的可加量  $Q$  的微元的一般表达式为  $f(M)dG$ , 即

$$dQ = f(M)dG,$$

其中  $dG$  是  $G$  的度量元素,  $f(M) \in C(G)$ . 于是

$$Q = \int_G f(M)dG.$$

#### 1. 几何应用举例

根据几何形体上积分的性质  $\int_G dG = m(G)$ . 当  $G$  分别是区间  $[a, b]$ , 平面区域  $D$ , 空间区域  $\Omega$ , 曲线  $L$ , 曲面  $\Sigma$  时, 则  $\int_G dG$  分别是

$$\begin{aligned} \int_a^b dx &= b - a \quad (\text{区间 } [a, b] \text{ 的长度}), \\ \iint_D d\sigma &= \sigma(D) \quad (D \text{ 的面积}), \quad \iiint_{\Omega} dV = V(\Omega) \quad (\Omega \text{ 的体积}), \\ \int_L ds &= s(L) \quad (L \text{ 的长度}), \quad \iint_{\Sigma} dS = S(\Sigma) \quad (\Sigma \text{ 的面积}). \end{aligned}$$

这类问题我们已经讨论过, 在此我们再举几个例子.

**例 3.1** 求双纽线  $(x^2 + y^2)^2 = a^2(x^2 - y^2)$  ( $a > 0$ ) 围出图形的面积.

**解** 容易求得在极坐标系下双纽线的方程为

$$r = a\sqrt{\cos 2\theta}.$$

由对称性 (图 4.8), 设图形在第一象限的面积为  $A_1$ , 则

$$\begin{aligned} A &= 4A_1 = 4 \iint_D d\sigma = 4 \int_0^{\frac{\pi}{4}} d\theta \int_0^{a\sqrt{\cos 2\theta}} r dr \\ &= 4 \int_0^{\frac{\pi}{4}} \frac{a^2 \cos 2\theta}{2} d\theta \\ &= a^2. \end{aligned}$$

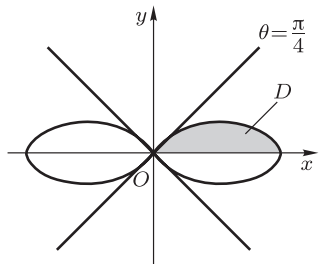


图 4.8

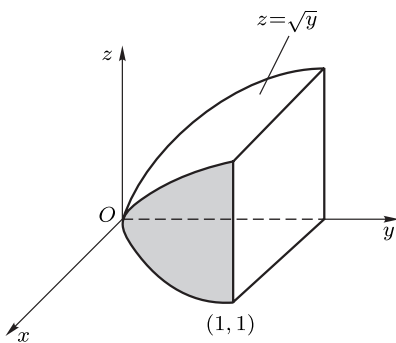


图 4.9

**例 3.2** 计算以  $Oxy$  平面上的曲线  $L: y = x^2$  (介于点  $(0, 0)$  与点  $(1, 1)$  之间的一段弧) 为准线, 母线平行于  $z$  轴且高度为  $z = \sqrt{y}$  的柱面 (图 4.9) 的面积.

**解** 由第一型曲线积分的几何意义, 易知所求面积为

$$A = \int_L \sqrt{y} ds = \int_0^1 x \sqrt{1 + 4x^2} dx = \frac{5\sqrt{5} - 1}{12}.$$

**例 3.3** 求抛物面  $z = x^2 + 2y^2$  与  $z = 6 - 2x^2 - y^2$  所围立体  $\Omega$  的体积.

**解** 联立  $z = x^2 + 2y^2, z = 6 - 2x^2 - y^2$  可求出  $\Omega$  在  $Oxy$  坐标面的投影域为  $D: x^2 + y^2 \leq 2$ . 于是

$$\begin{aligned} V &= \iiint_{\Omega} dV = \iint_D \left[ \int_{x^2+2y^2}^{6-2x^2-y^2} dz \right] dxdy \\ &= \iint_D (6 - 3x^2 - 3y^2) dxdy \\ &= \int_0^{2\pi} d\theta \int_0^{\sqrt{2}} (6 - 3r^2) r dr \\ &= 6\pi. \end{aligned}$$

## 2. 物理应用举例

### (1) 质心问题

设  $P(x, y, z)$  为空间质点, 其质量为  $m$ , 则称

$$M_{yz} = x \cdot m, \quad M_{zx} = y \cdot m, \quad M_{xy} = z \cdot m$$

分别为质点  $P$  对坐标面  $Oyz, Ozx, Oxy$  的静力矩, 简称静矩.

设  $P_s = \{P_i(x, y, z) | i = 1, 2, \dots, n\}$  为一个空间质点系 ( $n$  个质点构成的集合), 其中  $P_i$  的质量为  $m_i$ . 规定质点系对三个坐标面的静力矩分别为

$$M_{yz} = \sum_{i=1}^n x_i m_i, \quad M_{zx} = \sum_{i=1}^n y_i m_i, \quad M_{xy} = \sum_{i=1}^n z_i m_i,$$

即静力矩对质点具有可加性.

我们想象有那样一个质点  $\bar{P}(\bar{x}, \bar{y}, \bar{z})$ , 它的质量为质点系  $P_s$  的质量  $m = \sum_{i=1}^n m_i$ , 并且它对三个坐标面的静矩为质点系  $P_s$  对三个坐标面的静矩, 即

$$M_{yz} = \bar{x} \cdot m = \sum_{i=1}^n x_i m_i, \quad M_{zx} = \bar{y} \cdot m = \sum_{i=1}^n y_i m_i, \quad M_{xy} = \bar{z} \cdot m = \sum_{i=1}^n z_i m_i.$$

容易求得

$$\bar{x} = \frac{M_{yz}}{m} = \frac{\sum_{i=1}^n x_i m_i}{\sum_{i=1}^n m_i}, \quad \bar{y} = \frac{M_{zx}}{m} = \frac{\sum_{i=1}^n y_i m_i}{\sum_{i=1}^n m_i}, \quad \bar{z} = \frac{M_{xy}}{m} = \frac{\sum_{i=1}^n z_i m_i}{\sum_{i=1}^n m_i}.$$

我们称点  $(\bar{x}, \bar{y}, \bar{z})$  为质点系  $P_s$  的质心.

也就是说, 质点系  $P_s$  的某些性质, 如静矩, 与位于质心的具有与  $P_s$  相同质量的质点相当.

现在假设具有质量  $m$  的某物体, 占有空间几何形体  $G$ , 其密度  $\rho = \rho(x, y, z)$  是  $G$  上点  $(x, y, z)$  的函数, 下面我们讨论求该物体的质心问题.

采用微元法, 首先求该物体对三个坐标面的静力矩. 在  $G$  中任取一个直径很小的小几何形体  $dG$  (它同时表示度量), 近似地将  $dG$  看成一个质点, 其质量元素为  $dm = \rho dG$ , 从而其对三个坐标面的静矩元素分别为

$$dM_{yz} = x dm = x \rho dG, \quad dM_{zx} = y dm = y \rho dG, \quad dM_{xy} = z dm = z \rho dG.$$

于是由微元法知

$$M_{yz} = \int_G x \rho dG, \quad M_{zx} = \int_G y \rho dG, \quad M_{xy} = \int_G z \rho dG.$$

而该物体的质量

$$m = \int_G \rho(x, y, z) dG.$$

于是其质心  $(\bar{x}, \bar{y}, \bar{z})$  三个坐标分别为

$$\bar{x} = \frac{M_{yz}}{m} = \frac{\int_G x \rho dG}{\int_G \rho dG}, \quad \bar{y} = \frac{M_{zx}}{m} = \frac{\int_G y \rho dG}{\int_G \rho dG}, \quad \bar{z} = \frac{M_{xy}}{m} = \frac{\int_G z \rho dG}{\int_G \rho dG}. \quad (8)$$

当上面式子中的  $G$  分别为平面区域  $D$ 、空间区域  $\Omega$ 、曲线  $L$  或曲面  $\Sigma$  时, 则式子中的积分分别为二重积分、三重积分、第一型曲线积分或第一型曲面积分. 我们应该注意当  $G$  是平面区域  $D$  或平面曲线  $L$  时, (8) 式中的式子只有前两个, 其中的  $\rho = \rho(x, y)$  是二元函数, 且静矩也应是对  $y$  轴和  $x$  轴的 (不是对坐标面的), 分别记为  $M_y$  和  $M_x$ .

如果在 (8) 式中  $\rho$  为常数, 即物体的质量分布在  $G$  上是均匀分布的, 则此时分子与分母中  $\rho$  可同时提到积分号外面并约掉. 于是 (8) 式变为

$$\bar{x} = \frac{1}{m(G)} \int_G x dG, \quad \bar{y} = \frac{1}{m(G)} \int_G y dG, \quad \bar{z} = \frac{1}{m(G)} \int_G z dG, \quad (9)$$

其中  $m(G)$  是几何形体的度量, 由 (9) 式给出的质心  $(\bar{x}, \bar{y}, \bar{z})$  称为几何形体  $G$  的形心.

**例 3.4** 求由曲面  $y^2 = 4x - 2z^2$  与平面  $x = 2$  所围成的立体的质心, 假设密度  $\rho$  为常数, 即质量分布是均匀的.

**解** 所围立体  $\Omega$  如图 4.10 所示. 由于  $\rho$  为常数, 这时质心即是形心, 设其坐标为  $(\bar{x}, \bar{y}, \bar{z})$ . 由对称性易知  $\bar{y} = \bar{z} = 0$ , 故只需求  $\bar{x}$ .

$$M_{yz} = \iiint_{\Omega} x \rho dV, \quad m = \iiint_{\Omega} \rho dV.$$

我们采用“先二后一”法计算这两个积分.

$\Omega$  在  $x$  轴上的投影区间为  $[0, 2]$ , 在该区间上任取一点  $x$ , 过点  $(x, 0, 0)$  作平行于  $Oyz$  面的平面  $\pi_x$ , 此平面截空间区域  $\Omega$  得到  $\pi_x$  上的平面区域  $D_x$ :

$$\frac{y^2}{(\sqrt{4x})^2} + \frac{z^2}{(\sqrt{2x})^2} \leq 1.$$

$D_x$  为椭圆形区域, 其面积是  $\pi\sqrt{4x}\sqrt{2x}$ , 于是

$$\begin{aligned} M_{yz} &= \iiint_{\Omega} x \rho dV = \int_0^2 \rho x dx \iint_{D_x} dy dz \\ &= \int_0^2 \rho x \pi \sqrt{4x} \sqrt{2x} dx = 2\sqrt{2}\pi\rho \int_0^2 x^2 dx = \frac{16\sqrt{2}}{3}\pi\rho. \end{aligned}$$

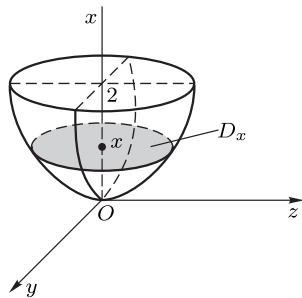


图 4.10

$$\begin{aligned}
 m &= \iiint_{\Omega} \rho dV = \rho \int_0^2 dx \iint_{D_x} dy dz = \rho \int_0^2 \pi \sqrt{4x} \sqrt{2x} dx \\
 &= 2\sqrt{2}\pi\rho \int_0^2 x dx = 4\sqrt{2}\pi\rho.
 \end{aligned}$$

从而

$$\bar{x} = \frac{M_{yz}}{m} = \frac{\frac{16\sqrt{2}}{3}\pi\rho}{4\sqrt{2}\pi\rho} = \frac{4}{3}.$$

因此, 所求的质心为  $\left(\frac{4}{3}, 0, 0\right)$ .

**例 3.5** 求心形线  $r = a(1 - \cos \theta)$  所围平面图形的形心.

**解** 如图 4.11 所示, 由对称性知所围平面图形  $D$  的形心必在  $x$  轴上, 设形心坐标为  $(\bar{x}, \bar{y})$ , 则  $\bar{y} = 0$ , 只需求  $\bar{x}$ . 由 (9) 式

$$\bar{x} = \frac{1}{m(D)} \iint_D x dx dy.$$

其中  $D$  的面积

$$\begin{aligned}
 m(D) &= \iint_D d\sigma = \int_0^{2\pi} d\theta \int_0^{a(1-\cos\theta)} r dr \\
 &= \frac{a^2}{2} \int_0^{2\pi} (1 - \cos \theta)^2 d\theta = \frac{3}{2}\pi a^2,
 \end{aligned}$$

二重积分

$$\begin{aligned}
 \iint_D x d\sigma &= \int_0^{2\pi} \cos \theta d\theta \int_0^{a(1-\cos\theta)} r^2 dr \\
 &= \frac{a^3}{3} \int_0^{2\pi} \cos \theta (1 - \cos \theta)^3 d\theta = -\frac{5}{4}\pi a^3,
 \end{aligned}$$

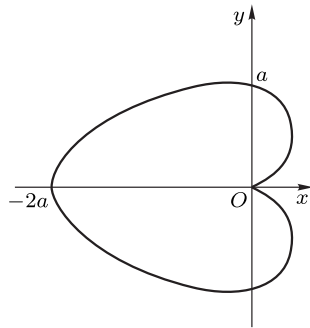


图 4.11

于是

$$\bar{x} = \frac{-\frac{5}{4}\pi a^3}{\frac{3}{2}\pi a^2} = -\frac{5}{6}a,$$

从而,  $D$  的形心为  $\left(-\frac{5}{6}a, 0\right)$ .

(2) 转动惯量问题

假设质量为  $m$  的质点  $P$  绕定轴  $l$  旋转,  $P$  到  $l$  的距离为  $r$ , 力学上称  $I = mr^2$  为质点  $P$  对轴  $l$  的转动惯量. 由于转动惯量具有可加性, 故质量为  $m_i$  的质点

$P_i (i = 1, 2, \dots, n)$  构成的质点系  $P_s$  对轴  $l$  的转动惯量为  $I = \sum_{i=1}^n m_i r_i^2$ , 其中  $r_i$  为  $P_i$  到  $l$  的距离.

现在假设某物体, 占有空间几何形体  $G$ , 其密度  $\rho = \rho(x, y, z)$  是  $G$  上点  $(x, y, z)$  的函数. 利用微元法容易得到其对  $x, y, z$  轴的转动惯量分别为

$$I_x = \int_G (y^2 + z^2) \rho dG, \quad I_y = \int_G (z^2 + x^2) \rho dG, \quad I_z = \int_G (x^2 + y^2) \rho dG. \quad (10)$$

当  $G$  为空间区域  $\Omega$ 、空间曲线  $L$ 、曲面  $\Sigma$  时, 则 (10) 中的积分分别是三重积分、第一型曲线积分、第一型曲面积分.

**例 3.6** 设某物体质量分布均匀, 密度  $\rho = 1$ , 占有空间区域  $\Omega: x^2 + y^2 + z^2 \leq R^2$ . 求该物体对三个坐标轴的转动惯量.

**解** 根据公式 (10) 知

$$I_x = \iiint_{\Omega} (y^2 + z^2) dV, \quad I_y = \iiint_{\Omega} (z^2 + x^2) dV, \quad I_z = \iiint_{\Omega} (x^2 + y^2) dV.$$

由对称性知

$$I_x = I_y = I_z = I,$$

于是

$$3I = I_x + I_y + I_z = \iiint_{\Omega} 2(x^2 + y^2 + z^2) dV.$$

利用球面坐标计算

$$\begin{aligned} I &= \frac{2}{3} \int_0^{2\pi} d\theta \int_0^{\pi} \sin \varphi d\varphi \int_0^R r^4 dr \\ &= \frac{2}{3} \cdot 2\pi \cdot 2 \cdot \frac{R^5}{5} = \frac{8}{15} \pi R^5. \end{aligned}$$

**例 3.7** 计算半径为  $R$ , 圆心角为  $2\alpha$  的圆弧  $L$  对其对称轴的转动惯量.  $L$  的线密度为  $\rho = \rho_0$ .

**解** 如图 4.12 所示, 建立坐标系, 此时问题变成求  $L$  对  $x$  轴的转动惯量  $I_x$ .  $L$  的方程为

$$\begin{cases} x = R \cos \theta, \\ y = R \sin \theta, \end{cases} \quad -\alpha \leq \theta \leq \alpha.$$

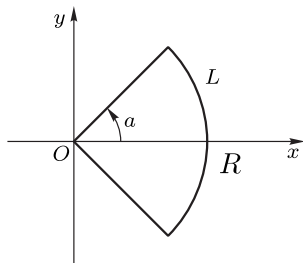


图 4.12



于是

$$\begin{aligned} I_x &= \int_L \rho_0 y^2 ds = \int_{-\alpha}^{\alpha} \rho_0 R^2 \sin^2 \theta \sqrt{(-R \sin \theta)^2 + (R \cos \theta)^2} d\theta \\ &= \rho_0 R^3 \int_{-\alpha}^{\alpha} \sin^2 \theta d\theta = \rho_0 R^3 (\alpha - \sin \alpha \cos \alpha). \end{aligned}$$

(3) 引力等问题

设有两个质点  $P_1(x_1, y_1, z_1), P_2(x_2, y_2, z_2)$ , 它们的质量分别是  $m_1, m_2$ . 由牛顿万有引力定律知  $P_1$  对  $P_2$  的引力为

$$\mathbf{F} = K \frac{m_1 m_2}{r^2} \overrightarrow{P_2 P_1}^0,$$

其中  $K$  为引力常数,  $r = \sqrt{(x_1 - x_2)^2 + (y_1 - y_2)^2 + (z_1 - z_2)^2}$  是  $P_2$  到  $P_1$  的距离.  $\overrightarrow{P_2 P_1}^0$  是以  $P_2$  为起点  $P_1$  为终点的单位向量, 即

$$\overrightarrow{P_2 P_1}^0 = \frac{1}{r} \overrightarrow{P_2 P_1} = \frac{1}{r} (x_1 - x_2, y_1 - y_2, z_1 - z_2).$$

于是

$$\mathbf{F} = K \frac{m_1 m_2}{r^3} (x_1 - x_2, y_1 - y_2, z_1 - z_2).$$

假设某物体, 占有空间几何形体  $G$ , 其密度函数  $\rho = \rho(x, y, z)$  是  $G$  上点  $(x, y, z)$  的函数. 另有质点  $P(x_0, y_0, z_0)$ , 具有质量  $m$ . 利用微元法容易求得该物体对  $P$  的引力  $\mathbf{F} = (F_x, F_y, F_z)$ , 其中

$$F_x = \int_G \frac{K m (x - x_0)}{r^3} \rho dG, \quad F_y = \int_G \frac{K m (y - y_0)}{r^3} \rho dG, \quad F_z = \int_G \frac{K m (z - z_0)}{r^3} \rho dG. \quad (11)$$

**例 3.8** 设面密度为常数  $\rho$  的均匀截圆锥曲面

$$\Sigma: x^2 + y^2 = z^2 \quad (0 < b \leq z \leq a),$$

求对位于圆锥顶点  $O(0, 0, 0)$  处的具有质量  $m$  的质点的引力  $\mathbf{F} = (F_x, F_y, F_z)$ .

**解** 由曲面的对称性及其质量分布的均匀性知

$$F_x = 0, \quad F_y = 0.$$

利用 (11) 式得

$$\begin{aligned} F_z &= \iint_{\Sigma} \frac{K m \rho z dS}{(x^2 + y^2 + z^2)^{\frac{3}{2}}} = \iint_{b^2 \leq x^2 + y^2 \leq a^2} \frac{K m \rho \sqrt{2} dx dy}{2\sqrt{2}(x^2 + y^2)} \\ &= \frac{1}{2} K m \rho \int_0^{2\pi} d\theta \int_b^a \frac{dr}{r} = \pi K m \rho \ln \frac{a}{b}. \end{aligned}$$

**例 3.9** 假设静电荷分布在球面  $\Sigma: x^2 + y^2 + z^2 = R^2$  上, 其分布密度为  $\rho = k \cos^2 \varphi$ . 求球面上电荷总量, 其中  $k$  为常数,  $\varphi$  是向径  $\overrightarrow{OP}$  与  $z$  轴的夹角,  $P(x, y, z)$  是  $\Sigma$  上的点.

**解** 任取  $\Sigma$  上一个微元  $dS$ , 其所具有的电量微元

$$dQ = \rho dS = k \cos^2 \varphi dS,$$

于是由微元法知,  $\Sigma$  上的总电量为

$$Q = \iint_{\Sigma} k \cos^2 \varphi dS.$$

球面  $\Sigma$  的参数方程

$$\begin{cases} x = R \sin \varphi \cos \theta, \\ y = R \sin \varphi \sin \theta, \\ z = R \cos \varphi, \end{cases} \quad \begin{matrix} 0 \leq \varphi \leq \pi, \\ 0 \leq \theta \leq 2\pi. \end{matrix} \quad (12)$$

如果曲面由参数方程

$$\begin{cases} x = x(u, v), \\ y = y(u, v), \\ z = z(u, v), \end{cases} \quad (u, v) \in D_{uv} \quad (13)$$

给出, 其中  $x(u, v), y(u, v), z(u, v) \in C^{(1)}(D_{uv})$ , 则可以推出其面积元素为

$$dS = \sqrt{\left[\frac{\partial(x, y)}{\partial(u, v)}\right]^2 + \left[\frac{\partial(y, z)}{\partial(u, v)}\right]^2 + \left[\frac{\partial(z, x)}{\partial(u, v)}\right]^2} du dv. \quad (14)$$

当曲面方程由  $z = z(x, y)$  给出时, 可以看成是 (13) 式的特例, 即  $(x, y)$  相当于参数  $(u, v)$ , 方程是  $x = x, y = y, z = z(x, y)$ . 于是 (14) 式就变成了我们熟知的

$$dS = \sqrt{1 + \left(\frac{\partial z}{\partial x}\right)^2 + \left(\frac{\partial z}{\partial y}\right)^2} dx dy.$$

在本例中利用公式 (14) 可得到

$$dS = \sqrt{\left[\frac{\partial(x, y)}{\partial(\varphi, \theta)}\right]^2 + \left[\frac{\partial(y, z)}{\partial(\varphi, \theta)}\right]^2 + \left[\frac{\partial(z, x)}{\partial(\varphi, \theta)}\right]^2} d\theta d\varphi = R^2 \sin \varphi d\theta d\varphi.$$

从而

$$Q = \int_0^{2\pi} d\theta \int_0^\pi k \cos^2 \varphi R^2 \sin \varphi d\varphi = \frac{4}{3} k R^2 \pi.$$

## 习 题 4.3

(A)

- 求下列均匀物体的质心 (即形心), 物体所占的空间区域为:
  - $\Omega = \{(x, y, z) | 0 \leq z \leq \sqrt{R^2 - x^2 - y^2}\};$
  - $\Omega = \{(x, y, z) | z \leq x^2 + y^2, x + y \leq a (a > 0), x, y, z \geq 0\}.$
- 求由下列曲线所围成的均匀平面薄片的质心坐标:
  - $y = \sqrt{2px}, x = a, y = 0 (a > 0);$
  - $x = a(t - \sin t), y = a(1 - \cos t) (0 \leq t \leq 2\pi, a > 0), y = 0;$
  - $r = 2 \sin \theta, r = 4 \sin \theta.$
- 球体  $x^2 + y^2 + z^2 \leq 2Rz$  内, 各点处的密度等于该点到坐标原点的距离的平方, 试求该球体的质心.
- 求下列占有平面闭区域  $D$  的均匀薄片 (面密度为 1) 对指定轴的转动惯量:
  - $D$  由  $x + y = 1, \frac{x}{3} + y = 1, y = 0$  所围成, 求  $I_x$ ;
  - $D$  由  $\frac{x^2}{a^2} + \frac{y^2}{b^2} = 1$  所围成, 求  $I_y$ .
- 求由曲面  $x^2 + y^2 + z^2 = 2$  和  $x^2 + y^2 = z^2$  所围部分正  $z$  轴的均匀物体对  $z$  轴的转动惯量.
- 求底半径为  $R$ , 高为  $H$  的均匀正圆柱体对于底的直径的转动惯量.

(B)

- 设  $f(M), g(M)$  在有界闭几何形体  $G$  上连续, 证明

$$\int_G [af(M) + bg(M)] dG = a \int_G f(M) dG + b \int_G g(M) dG,$$

其中  $a, b$  是常数.

- 设  $f(M)$  在有界闭几何形体  $G$  上连续, 且对  $G$  的任何子区域  $G'$ , 均有

$$\int_{G'} f(M) dG = 0,$$

试证明在  $G$  上  $f(M) \equiv 0$ .

- 若  $|f(M)|$  在  $G$  上可积, 那么  $f(M)$  在  $G$  上是否可积? 可考察函数

$$d(x) = \begin{cases} 1, & x \text{ 为有理数,} \\ -1, & x \text{ 为无理数.} \end{cases}$$

- 求质量为  $M$  的非均匀球体  $x^2 + y^2 + z^2 \leq R^2$  对于其直径的转动惯量, 该球体内点  $P(x, y, z)$  处的密度为  $\rho = k\sqrt{x^2 + y^2 + z^2}$  ( $k$  为正常数).

5. 设由曲面  $z = \sqrt{R^2 - x^2 - y^2}$  和  $z = \sqrt{x^2 + y^2}$  所围成的球锥的密度为  $\rho_0$  (常数), 试求该物体对于其顶点的单位质点的引力.

6. 设物体对轴  $l$  的转动惯量为  $I_l$ , 对通过质心且平行于轴  $l$  的轴  $l_0$  的转动惯量为  $I_0$ , 试证明

$$I_l = I_0 + md^2,$$

其中  $m$  为物体的质量,  $d$  为轴  $l$  与轴  $l_0$  的距离. 此结论称为平行轴定理.

7. 利用平行轴定理求半径为  $R$  的球体对于任一条切线  $T$  的转动惯量  $I_T$ .

8. 试求某均匀半圆周 ( $\mu = 1$ ) 对位于其圆心处的单位质点的引力.

9. 利用曲线积分求圆柱面  $x^2 + y^2 = ay$  介于平面  $z = 0$  及锥面  $az = h\sqrt{x^2 + y^2}$  ( $a > 0, h > 0$ ) 之间部分的曲面面积.

10. 有一个形状为  $x^2 + y^2 \leq z \leq 1$  的均匀物体, 放置在水平的桌面上, 当物体静止时, 问物体的轴线与桌面的夹角  $\theta$  是多少?

11. 由曲面  $z = 2 - x^2 - y^2$  和  $z = \sqrt{x^2 + y^2}$  围成的立体  $\Omega$ , 其密度为 1, 求  $\Omega$  绕直线  $l: x = y = z$  旋转的转动惯量.